

جبران‌سازی اثر خطای تخمین کانال در سیستم‌های ارتباطی TiR-UWB

سجاد علیزاده^{*}، حسین خالقی بیزکی^۲، مجید اخوت^۳

۱- کارشناس ارشد، ۳- استادیار، گروه مخابرات، دانشکده و پژوهشکده فناوری اطلاعات و ارتباطات، دانشگاه جامع امام حسین (ع)

۲- استادیار، دانشکده برق و کامپیوتر، دانشگاه علم و صنعت ایران

(دریافت: ۱۳۸۹/۰۹/۲۰، پذیرش: ۱۳۹۰/۰۷/۰۶)

چکیده

تکنیک ارسال معکوس زمانی (TiR)، پیچیدگی‌گیرنده را در کانال‌های درون ساختمانی UWB، کاهش می‌دهد، اما به خطای ناشی از تخمین غیرایده‌آل کانال حساس می‌باشد. در این مقاله، فرم بسته‌ای برای روابط احتمال خطای تخمین کانال مخابراتی یک سیستم UWB مبتنی بر TiR با گیرنده شامل فیلتر منطبق ساده و در شرایط مختلف خطای تخمین غیرایده‌آل کانال محسوب می‌شود. سپس به منظور بهبود عملکرد سیستم TiR-UWB در شرایط تخمین‌گر غیرایده‌آل کانال، یک الگوریتم بهینه‌سازی دو مرحله‌ای مبتنی بر تکرار پیشنهاد می‌گردد. این الگوریتم، خطای ناشی از تخمین غیرایده‌آل کانال را با استفاده از پیش فیلتر به دست آمده از سیستم شامل تخمین‌گر MMSE بهینه، در ۴ گام مجزا به صفر نزدیک می‌کند. علاوه بر این، به صورت تحلیلی نشان داده می‌شود که پیش فیلتر طراحی شده به کواریانس خطای تخمین کانال، که به راحتی قابل دست‌یابی می‌باشد، وابسته است.

کلیدواژه‌ها: تکنیک TiR، سیستم‌های UWB، کواریانس خطای تخمین، پیش فیلتر، تخمین‌گر MMSE بهینه.

Channel Estimation Error Compensation in Time-Reversed UWB Communication Systems

S. Alizadeh^{1*}, H. Khaleghi Bizaki², M. Okhovvat³

Faculty of ICT Engineering, Department of Telecommunications, Imam Hossein University

(Received: 12/11/2010, Accepted: 09/28/2011)

Abstract

Time Reversal (TiR) technique mitigates the complexity of receiver in UWB indoor channels, but is very sensitive to the channel estimation error. The effect of channel imperfection on TiR technique is considered in this paper. At first, the Bit Error Probability (BEP) of the TiR-UWB communication system under the assumptions of the simple Matched Filter (MF) receiver with the channel estimation errors is derived in closed-form. Moreover, based on optimal MMSE estimator receiver, a pre-filter is calculated in closed-form to improve the performance of the TiR-UWB system in an imperfect CSI scenario. Furthermore, a two stage iteration-based algorithm is developed at transmitter to calculate a pre-filter in MF receiver. This improved algorithm causes the channel estimation error tends to zero in some steps for the TiR-UWB system with MF. The initial value for this iteration-based improved algorithm is considered to be closed form pre-filter calculated in TiR-UWB system with optimal MMSE estimator. Finally, exhaustive simulations are done to demonstrate the performance advantage attained by the improved algorithm.

Keywords: TiR Technique, UWB Systems, Estimation Error Covariance, Pre-filter, Optimal MMSE Estimator.

¹Corresponding author E-mail: Sajj_Alizadeh@yahoo.com

Passive Defence Sci. & Tech. 2011, 3, 179-191

۲. مدل سیستم TiR-UWB

شكل (۱) بلوک دیاگرام یک سیستم TiR-UWB را نشان می‌دهد. در این شکل از فیلتر منطبق ساده به عنوان گیرنده و از پالس (t) به عنوان فیلتر شکل دهی استفاده شده و تلاش می‌شود تا رابطه احتمال خطای این سیستم برای دو حالت تخمين ایده‌آل و غیرایده‌آل کانال و در شرایط بدون ISI و با ISI محاسبه گردد. همان‌طور که در شکل (۱) مشاهده می‌شود، سمبول‌های $\{ -1, +1 \}_j^d$ که حاصل مدولاسیون BPAM هستند، پس از عبور از پیش فیلتر TiR واقع در فرستنده، روی کانال چند مسیره $h(t)$ (با مدل TDL) ارسال می‌شوند. سیگنال ارسالی تحت تاثیر نویز گاوی $n(t)$ قرار گرفته و به گیرنده وارد می‌شود، به طوریکه در گیرنده، با کمک یک الگوریتم تخمين کانال مثل CLEAN، پاسخ ضربه کانال $h(t)$ تخمين زده می‌شود تا از نسخه معکوس زمانی و مزدوج مختلط شده آن به عنوان پیش فیلتر در فرستنده استفاده گردد [۲]. سیگنال دریافتی در گیرنده از یک فیلتر منطبق بر پالس ارسالی $p(t)$ عبور کرده و پس از نمونه‌برداری در نقاط ماکزیمم، یعنی لحظات $t = jT$ و مقایسه با سطح آستانه v_T ، سمبول‌های ارسالی آشکار می‌شوند. باید توجه داشت که اگر تخمين‌گر بدون خطا عمل کند، $(h(t) = \hat{h}(t))$ و در غیر این صورت $(h(t) \neq \hat{h}(t))$ خواهد بود که در ادامه به بررسی این خطا با محاسبه احتمال خطای سیستم و سپس جبران‌سازی آن پرداخته می‌شود.

۳. تحلیل عملکرد سیستم TiR-UWB

در این بخش با استفاده از یک فیلتر منطبق ساده به عنوان گیرنده، رابطه احتمال خطا برای دو حالت تخمين ایده‌آل و غیرایده‌آل کانال و در شرایط عدم وجود ISI و با ISI به صورت زیر محاسبه می‌شود.

۳-۱. محاسبه احتمال خطا با فرض تخمين ایده‌آل کانال

الف: در شرایط عدم وجود ISI

با فرض استفاده از مدولاسیون BPAM، سیگنال مدوله شده ارسالی به صورت زیر خواهد بود:

$$s(t) = \sum_j d_j p(t - jT) \quad (1)$$

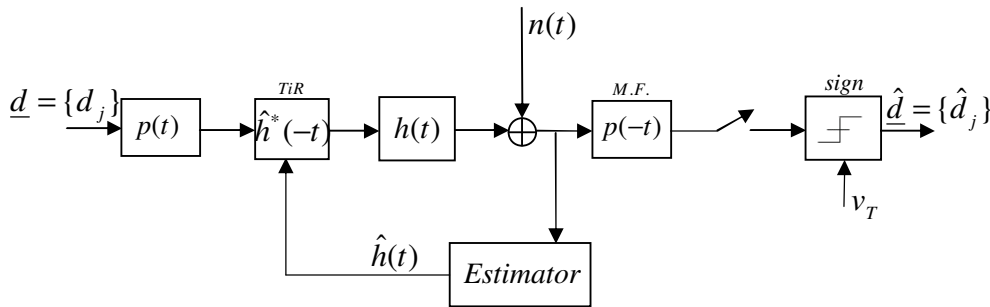
که در آن $\{ -1, +1 \}_j^d$ سمبول ارسالی زام، T بیانگر طول سمبول و $p(t)$ پالس ارسالی با پهنهای T_p می‌باشد. برای سادگی تحلیل فرض می‌شود $T_p = T$ باشد. علاوه بر این، زمان سمبول T طوری انتخاب می‌شود که ISI وجود نداشته باشد. برای سادگی تحلیل‌ها و به دست آوردن روابط به فرم بسته، مدل کانال یک مدل چندمسیره TDL با L تپ به صورت رابطه (۲) انتخاب می‌شود.

۱. مقدمه

کاربرد اصلی سیستم‌های باند فوق وسیع (UWB)^۱، ارسال اطلاعات با نرخ بالا و در فواصل کوتاه می‌باشد. در این سیستم‌ها از پالس‌های بسیار باریک در حوزه زمان برای ارسال اطلاعات استفاده می‌شود که باعث تفکیک پذیری زمانی بالا در سیگنال دریافتی و افزایش پیچیدگی گیرنده در محیط‌های درون ساختمانی می‌گردد. به منظور کاهش پیچیدگی ساختار گیرنده در این سیستم‌ها، از روش ارسال معکوس زمانی (به اختصار TiR^۲) استفاده می‌کنند [۱]. تکنیک TiR یک روش ساده ارسال و دریافت است که منجر به کاهش پیچیدگی در طراحی فرستنده-گیرنده‌های UWB شده و کارآیی آن را تا اندازه زیادی بهبود می‌بخشد. در این روش، سیگنال در فرستنده، ابتدا پیش فیلتر شده و سپس روی کانال ارسال می‌گردد. این امر باعث می‌شود که سیگنال دریافتی در گیرنده مورد نظر در فضا و زمان متمرکز شود [۱]. از طرف دیگر پاسخ ضربه پیش فیلتر در تکنیک TiR، حاصل معکوس زمانی و مزدوج مختلط شده پاسخ ضربه کانال می‌باشد که طی سنتروی تخمين کانال به دست می‌آید [۲]. بدینهی است که وجود خطا در تخمين گر کانال و همچنین خطای ناشی از همزمان‌سازی فرستنده و گیرنده، روی عملکرد روش TiR اثر نامطلوبی دارد. در این مقاله فرض می‌شود که با کمک الگوریتم‌های همزمان‌سازی، خطای ناشی از همزمانی بین فرستنده و گیرنده برطرف شده و تنها موضوع چالش برانگیز در استفاده از تکنیک TiR، خطای ناشی از تخمين غیرایده‌آل کانال می‌باشد. لذا هدف نهایی مقاله حاضر، محاسبه روابط احتمال خطای سیستم TiR-UWB در شرایط مختلف خطای تخمين کانال و سپس ارائه یک روش برای جبران‌سازی یا کاهش اثر خطای ناشی از تخمين گر غیرایده‌آل کانال جهت اجرای موفقیت‌آمیز تکنیک TiR خواهد بود. اکثر مراجع مرتبط با موضوع این مقاله با فرض تخمين ایده‌آل کانال به بررسی عملکرد یک سیستم TiR-UWB پرداخته‌اند و در آنها صحبتی از اثر خطا روی عملکرد نشده است [۳-۷]. در این مراجع، فرض شده است که کانال در طول یک برسست داده، ایستا باشد و در آنها صحبتی از اثر خطا روی عملکرد و جبران‌سازی آن نشده است. در این مقاله به نتایج این مراجع در حالت تخمين ایده‌آل کانال تکیه کرده و بر این اساس، اثر خطای تخمين روی روابط احتمال خطای یک سیستم TiR-UWB توسعه داده می‌شود. همچنین به بررسی اثر خطای تخمين کانال بر عملکرد سیستم و سپس جبران‌سازی آن پرداخته شده است [۸]. نشان داده شده که روش پیشنهادی می‌تواند عملکرد قابل قبولی در نرخ ارسال بالا داشته باشد. در مقاله حاضر تلاش می‌شود تا با تحلیلی ساده‌تر و متفاوت از این مرجع، خطای ناشی از تخمين غیرایده‌آل کانال به کمک پیش فیلتر جبران گردد.

¹ Ultra Wide-Band

² Time Reversal



شکل ۱. مدل سیستم TiR-UWB به همراه فیلتر منطبق ساده در گیرنده

با استفاده از تقارن تابع گاوسی داریم: $\sigma_{-1}^2 = \sigma_1^2$ و $u_{-1} = -u_1$. بنابراین احتمال خطأ به صورت زیر قابل محاسبه خواهد بود:

$$P_e = Q\left(\sqrt{\frac{2E_p}{N_0}} \left[\sum_{i=0}^{L-1} \sum_{k=0}^{L-1} \alpha_i \alpha_k R(\tau_i - \tau_k)^2 \right] \right) \quad (6)$$

به طوریکه $Q(x) = \frac{1}{\sqrt{2\pi}} \int_x^{+\infty} \exp\left(-\frac{t^2}{2}\right) dt$ می‌باشد.

ISI می‌باشد.

در برخی مراجع با فرض وجود ISI، رابطه‌ای برای احتمال خطای یک سیستم TiR-UWB محاسبه شده است [۴، ۵]. در ادامه تلاش بر این است که با تحلیلی متفاوت از مراجع فوق و با استفاده از یک گیرنده فیلتر منطبق ساده، به محاسبه احتمال خطأ در شرایط وجود ISI و با فرض تخمین ایده‌آل کاتال پرداخته شود. در بخش‌های بعدی، این رویکرد توسعه داده شده و احتمال خطأ با فرض وجود خطای تخمین کاتال به دست خواهد آمد. اگر t_s زمان نمونه‌برداری باشد، آنگاه طول زمانی کاتال $T_0 = L't_s$ می‌باشد به طوریکه $L' \leq L$ یعنی $L' \leq T_0$ در نظر گرفته می‌شود. پنجه انتگرال‌گیری، L' تعداد تپ‌های کاتال و L بیانگر تعداد تپ‌های پیش‌فیلتر می‌باشند.

در پاسخ ضربه معادل TiR، قسمت اعظم انرژی سمبیل ارسالی در لوب اصلی وجود دارد، بنابراین محدوده انتگرال‌گیری برای متغیر تصمیم‌گیری z مین سمبیل (سمبیل جاری یا سمبیل در حال ارسال) را در این لوب تنظیم می‌شود [۴]. در نتیجه کران پایین انتگرال‌گیری برای مین سمبیل دریافتی $\frac{T}{2} - kT + T_0$ و کران بالای آن $kT + T_0 + \frac{T}{2}$ می‌باشد. همچنین برای مشخص کردن تعداد سمبیل‌های

کناری مین سمبیل که با آن ISI ایجاد می‌کنند، N_1 و N_2 تعریف می‌شود، به طوریکه $N_1 = c e i l\left(\frac{T_0 - \frac{T}{2}}{T}\right)$ برابر با تعداد

$$h(t) = \sum_{l=0}^{L-1} \alpha_l \delta(t - \tau_l) \quad (2)$$

که در آن α_l و τ_l به ترتیب دامنه و تاخیر امین مسیر می‌باشند.

فرض می‌شود که کاتال در طول یک برسی داده ارسالی، ایستا باشد، یعنی پارامترهای کاتال به صورت یقینی اما مجهول باشند. اگر پارامترهای کاتال تصادفی فرض شوند، می‌توان از روی تحقیقات مختلف کاتال، احتمال خطای متوسط P_e را بدست آورد. کاتال معادل TiR ناشی از تابع خود همبستگی $h(t)$ را می‌توان به صورت $h_{TiR}(t) = h(t) \otimes h(-t)$ بیان نمود [۳]. بنابراین سیگنال دریافتی را می‌توان به صورت رابطه (۳) نوشت:

$$r(t) = \sum_j \sum_{i=0}^{L-1} \sum_{k=0}^{L-1} d_j \alpha_i \alpha_k p(t - jT - (\tau_i - \tau_k)) + n(t) \quad (3)$$

سیگنال مرجع برای گیرنده فیلتر منطبق ساده که منطبق بر پالس ارسالی است، به صورت $y_{ref}(t) = p(t)$ می‌باشد [۶]. بنابراین، متغیر تصمیم‌گیری برای زامین سمبیل عبارتست از:

$$z_j = \int_0^T r(t + jT) y_{ref}(t) dt = \int_0^T r(t + jT) p(t) dt \begin{cases} > 0 \\ \leq -1 \end{cases} \quad (4)$$

با توجه به اینکه نویز یک متغیر تصادفی گاوسی فرض می‌شود، $r(t)$ دارای یک توزیع گاوسی بوده و در نتیجه z_j نیز یک متغیر تصادفی گاوسی خواهد بود [۶]. بنابراین، برای به دست آوردن توزیع گاوسی و محاسبه احتمال خطأ، کافی است تا میانگین و واریانس z_j به شرط ارسال یک سمبیل را به دست آورد. تابع خود همبستگی نرم‌الیزه شده پالس $p(t)$ و انرژی پالس به صورت زیر تعریف می‌شود:

$$R(\tau) = \frac{\int_{-\infty}^{+\infty} p(t) p(t - \tau) dt}{E_p}, \quad E_p = \int_{-\infty}^{+\infty} p^2(t) dt \quad (5)$$

میانگین و واریانس z_j به شرط $d_j = +1$ به ترتیب عبارتند از:

$$u_1 = E\{z_j | d_j = +1\} = E_p \left(\sum_{i=0}^{L-1} \sum_{k=0}^{L-1} \alpha_i \alpha_k R(\tau_i - \tau_k) \right)$$

$$\sigma_1^2 = \text{var}\{z_j | d_j = +1\} = \frac{N_0}{2} E_p$$

حالت ۱: فرض اینکه $\alpha_i = \hat{\alpha}_i + \Delta\alpha_i$ و $\tau_i \approx \hat{\tau}_i$ باشد. همچنین فرض می شود عامل خطای $\Delta\alpha_i$ متغیر گاووسی به صورت $(\Delta\alpha_i \sim N(0, \sigma_{\Delta\alpha_i}^2))$ باشد [۹]. با فرض گیرنده فیلتر منطبق ساده و با توجه به تعریف (۵) و همچنین مستقل بودن خطای تخمین دو مسیر مختلف یعنی $\Delta\alpha_i \perp \Delta\alpha_k$ ، احتمال خطای $\hat{\alpha}_i$ به صورت رابطه (۹) محاسبه می شود.

$$P_e = Q\left(\sqrt{\frac{2E_p}{N_0} \frac{\sum_{i=0}^{L-1} \sum_{k=0}^{L-1} \hat{\alpha}_i \hat{\alpha}_k R(\tau_i - \tau_k)^2}{1 + \frac{2E_p}{N_0} \sum_{i=0}^{L-1} \sum_{k=0}^{L-1} \hat{\alpha}_k^2 R^2(\tau_i - \tau_k)}}\right) \quad (9)$$

حالت ۲: فرض اینکه $\alpha_i \approx \hat{\alpha}_i + \Delta\tau_i$ و $\tau_i = \hat{\tau}_i + \Delta\tau_i$ باشد. پهنای پالس با T_p و پهنای سمبیل با T نشان داده می شود. برای سادگی تحلیل فرض می شود $T = T_p$ باشد. در این صورت: $\Delta\tau_i = \varepsilon_i T; i=0, \dots, L-1$ که $\Delta\tau_i = \hat{\tau}_i + \Delta\tau_i = \hat{\tau}_i + \varepsilon_i T$ در آن ε_i خطای تخمین تاخیر مسیر α_i نرمالیزه شده به پهنای پالس یا سمبیل می باشد. از طرفی برای راحتی تحلیل فرض می شود که این خطای گاووسی باشد، یعنی $(\varepsilon_i \sim N(0, \sigma_{\varepsilon_i}^2))$. همچنین فرض می شود که خطاهای دو مسیر متفاوت، از هم مستقل باشند، یعنی $\varepsilon_i \perp \varepsilon_k$.

در مراجع اثر خطای تخمین تاخیر مسیرها روی عملکرد یک گیرنده RAKE بدون اعمال TiR تحلیل شده است که اگر این تحلیل برای یک سیستم مبتنی بر TiR انجام شود، بسیار پیچیده و وقت گیر خواهد بود [۹]، لذا تحلیل ساده تری در این بخش ارائه می شود. همچنین تحلیل کلی تری از اثر خطای تخمین روی احتمال خطای سیستم انجام گرفته است [۸]. از آنجا که در این تحلیل، متغیر تصادفی $\Delta\tau_i$ داخل آرگومانتابع خود همبستگی پالس $p(t)$ قرار دارد (یعنی $\Delta\tau_i + \Delta\tau_k \sim R(\hat{\tau}_i - \hat{\tau}_k)$) استفاده می شود. با در نظر گرفتن دو جمله اول بسط و حذف بقیه جملات: $R(\hat{\tau}_i - \hat{\tau}_k + \Delta\tau_i) = a(\hat{\tau}_i - \hat{\tau}_k + \Delta\tau_i) + b$ که a و b اعداد ثابت هستند. اما برای راحتی تحلیلها و به دست آوردن رابطه ای ملموس و به فرم بسته، در حالت خاص، پالس $p(t)$ را به صورت مستطیلی نظر گرفته می شود. در این صورت،تابع خود همبستگی آن به صورت مثلثی زیر بیان می شود [۹]:

سمبل های ISI ناشی از پیش فیلتر و $N_2 = ceil(\frac{T_m - \frac{T}{2}}{T})$ برابر با تعداد سمبول های ISI ناشی از کانال می باشند. بنابراین α_i می شود: سمبول دریافتی با $N_1 + N_2$ سمبول قبل و بعد از خودش هم پوشانی و در نتیجه ISI دارد. با توجه به اینکه $T_i \leq T$ می باشد، برای راحتی در تحلیل، $T_i = T$ انتخاب می شود [۴]. فرض کنید طول کانال برابر طول پیش فیلتر باشد؛ با استفاده از تغییر متغیر در روابط (۴) و (۵)، متغیر تصمیم گیری برای α_i می شود:

$$z_k = E_p \sum_{j=-N_1}^{N_2} d_{j-k} \underbrace{\sum_{i=0}^{L-1} \sum_{l=0}^{L-1} \alpha_i \alpha_l R(\tau_i - \tau_l + (k-j)T)}_{c_{j,k}} + \eta_k \quad (7)$$

به طور یکه $c_{j,k} = \sum_{i=0}^{L-1} \sum_{l=0}^{L-1} \alpha_i \alpha_l R(\tau_i - \tau_l + (k-j)T)$ در نظر گرفته شده و این دنباله برای α_i می شود، تشکیل یک بردار با $C_k = (c_{-N_1, k}, \dots, c_{N_2, k})^T$ را دهد. اگر بردار ارسالی $d = (d_1, \dots, d_k, \dots, d_N)^T$ یک بردار N سمبولی (برست N سمبولی) فرض شود، برای هر یک از سمبول های ارسالی از بردار d مثل d_k ، یک بردار $N_1 + N_2 + 1$ سمبولی برای نشان دادن سمبول مذکور و سمبول های ISI آن به صورت $z_k = E_p d_{k+N_1, k-N_2}^T C_k + \eta_k$ گاووسی:

$$\eta_k = \int_{T_0 - \frac{T}{2}}^{T_0 + \frac{T}{2}} p(t + kT) n(t + kT) dt$$

با فرض اینکه $n(t)$ نویز گاووسی با متوسط صفر و واریانس $\frac{N_0}{2}$ باشد، آنگاه $\sigma_{\eta_k}^2 = \frac{N_0}{2} E_p$ خواهد بود. در نتیجه احتمال خطای α_i سمبول به صورت زیر به دست می آید.

$$P_e = \frac{1}{2^{N_1+N_2+1}} \sum_d Q\left(\sqrt{\frac{2E_p}{N_0} (d_k d_{k+N_1, k-N_2}^T C_k)}\right) \quad (8)$$

۲-۳. محاسبه احتمال خطای با فرض تخمین غیرایده آل کانال

الف: در شرایط عدم وجود ISI

با توجه به اینکه خطای دامنه، تاخیر، توام دامنه و تاخیر مسیرهای کانال تخمین زده شده می تواند رخداد نداشته باشد، سه حالت مجزا در محاسبه احتمال خطای در نظر گرفته می شود:

$$R(\hat{\tau}_i - \hat{\tau}_k + \Delta\tau_i) = \begin{cases} 1 - \frac{|\hat{\tau}_i - \hat{\tau}_k + \Delta\tau_i|}{T} & ; |\hat{\tau}_i - \hat{\tau}_k + \Delta\tau_i| \leq T \\ 0 & ; \text{else} \end{cases} \quad (10)$$

$$P_e = \begin{cases} Q\left(\sqrt{\frac{2E_p}{N_0} \frac{\sum_{i=0}^{L-1} \sum_{k=0}^{L-1} \alpha_i \alpha_k (1 + \frac{\hat{\tau}_i - \hat{\tau}_k}{T})^2}{1 + \frac{2E_p}{N_0} \sum_{i=0}^{L-1} \sum_{k=0}^{L-1} \alpha_i^2 \alpha_k^2 \sigma_{\varepsilon_i}^2}}\right) & ; \hat{\tau}_k - \hat{\tau}_i - T \leq \Delta\tau_i < \hat{\tau}_k - \hat{\tau}_i \\ Q\left(\sqrt{\frac{2E_p}{N_0} \frac{\sum_{i=0}^{L-1} \sum_{k=0}^{L-1} \alpha_i \alpha_k (1 - \frac{\hat{\tau}_i - \hat{\tau}_k}{T})^2}{1 + \frac{2E_p}{N_0} \sum_{i=0}^{L-1} \sum_{k=0}^{L-1} \alpha_i^2 \alpha_k^2 \sigma_{\varepsilon_i}^2}}\right) & ; \hat{\tau}_k - \hat{\tau}_i \leq \Delta\tau_i \leq \hat{\tau}_k - \hat{\tau}_i + T \\ \frac{1}{2} & ; \text{else} \end{cases} \quad (11)$$

$$P_e = \begin{cases} Q\left(\sqrt{\frac{2E_p}{N_0} \frac{\sum_{i=0}^{L-1} \sum_{k=0}^{L-1} \hat{\alpha}_i \hat{\alpha}_k (1 + \frac{\hat{\tau}_i - \hat{\tau}_k}{T})^2}{1 + \frac{2E_p}{N_0} (\sum_{i=0}^{L-1} \sum_{k=0}^{L-1} \hat{\alpha}_i^2 \hat{\alpha}_k^2 \sigma_{\varepsilon_i}^2 + \sum_{i=0}^{L-1} \sum_{k=0}^{L-1} \hat{\alpha}_k^2 (1 + \frac{\hat{\tau}_i - \hat{\tau}_k}{T})^2 \sigma_{\Delta\alpha_i}^2 + \sum_{i=0}^{L-1} \sum_{k=0}^{L-1} \hat{\alpha}_k^2 \sigma_{\Delta\alpha_i}^2 \sigma_{\varepsilon_i}^2)})}\right) & \\ Q\left(\sqrt{\frac{2E_p}{N_0} \frac{\sum_{i=0}^{L-1} \sum_{k=0}^{L-1} \hat{\alpha}_i \hat{\alpha}_k (1 - \frac{\hat{\tau}_i - \hat{\tau}_k}{T})^2}{1 + \frac{2E_p}{N_0} (\sum_{i=0}^{L-1} \sum_{k=0}^{L-1} \hat{\alpha}_i^2 \hat{\alpha}_k^2 \sigma_{\varepsilon_i}^2 + \sum_{i=0}^{L-1} \sum_{k=0}^{L-1} \hat{\alpha}_k^2 (1 - \frac{\hat{\tau}_i - \hat{\tau}_k}{T})^2 \sigma_{\Delta\alpha_i}^2 + \sum_{i=0}^{L-1} \sum_{k=0}^{L-1} \hat{\alpha}_k^2 \sigma_{\Delta\alpha_i}^2 \sigma_{\varepsilon_i}^2)})}\right) & \\ \frac{1}{2} & \end{cases} \quad (12)$$

حالات مجزا در محاسبه احتمال خطأ در نظر گرفته می‌شود:
 حالت ۱: با فرض $\alpha_i = \hat{\alpha}_i + \Delta\alpha_i$ و $\hat{\tau}_i \approx \tau_i$ ، بهطور مشابه با حالت ۱ در قسمت (الف) و همچنین استفاده از فرض‌های مطرح شده در قسمت (ب) بخش ۳-۱، احتمال خطأ به صورت رابطه (۱۳) محاسبه می‌شود.

$$P_e = \frac{1}{2^{N_1+N_2+1}} \sum_d Q\left(\sqrt{\frac{2E_p}{N_0}} \left(\frac{d_k d_{k+N_1, k-N_2}^T \hat{C}_k}{\sqrt{1 + \frac{2E_p}{N_0} \Delta C_k^T \sigma_{\Delta\alpha}^2}} \right) \right) \quad (13)$$

بهطوریکه در آن:

با توجه به حدود مقادیر ممکن $\Delta\tau_i$ ، احتمال خطأ به صورت رابطه سه ضابطه‌ای (۱۱) به دست می‌آید.

حالات ۲ و ۳: فرض اینکه $\alpha_i = \hat{\alpha}_i + \Delta\alpha_i$ و $\hat{\tau}_i + \Delta\tau_i = \hat{\tau}_i$ باشد.

مانند حالت ۲، در حالت خاص برای پالس مستطیلی می‌توان متغیر تصمیم‌گیری و در نتیجه احتمال خطأ را در سه بازه به صورت رابطه (۱۲) بیان نمود.

ب: با رویکرد سمبول‌های ISI

مشابه قسمت قبل، با توجه به اینکه خطأ در دامنه، تاخیر، توام دامنه و تاخیر مسیرهای کاتال تخمین زده شده اتفاق افتاده باشد، سه

همچنین بردار واریانس خطای به صورت $\underline{\sigma}_{\epsilon}^2 = (\sigma_{\epsilon_0}^2, \dots, \sigma_{\epsilon_{L-1}}^2)^T$ در نظر گرفته می‌شود.

حالات ۳: با فرض خطای توان تخمین تاخیر و دامنه مسیرها و در حالت مستطیلی بودن پالس $p(t)$ ، احتمال خطای به صورت رابطه سه ضابطه‌ای (۱۵) محاسبه می‌شود، به طوریکه در آن:

$$\{\hat{c}_{j,k}^{(1)}\} = \sum_{i=0}^{\Delta} \sum_{l=0}^{L-1} \hat{\alpha}_i \hat{\alpha}_l (1 + \frac{\hat{\tau}_i - \hat{\tau}_l + (k-j)T}{T})$$

$$\Rightarrow \underline{\hat{C}}_k^{(1)} = (\hat{c}_{-N_1,k}^{(1)}, \dots, \hat{c}_{N_2,k}^{(1)})^T$$

$$\{\Delta c_{i,k}^{(1)}\} = \sum_{j=-N_1}^{N_2} \sum_{l=0}^{L-1} d_{k-j} \hat{\alpha}_i \hat{\alpha}_l \Rightarrow \underline{\Delta C}_k = (\Delta c_{0,k}^2, \dots, \Delta c_{L-1,k}^2)^T$$

$$\{\Delta c_{i,k}^{(2)}\} = \sum_{j=-N_1}^{N_2} \sum_{l=0}^{L-1} d_{k-j} \hat{\alpha}_i \hat{\alpha}_l (1 - \frac{\hat{\tau}_i - \hat{\tau}_l + (k-j)T}{T})$$

$$\Rightarrow \underline{\Delta C}_k^{(2)} = ((\Delta c_{0,k}^{(2)})^2, \dots, (\Delta c_{L-1,k}^{(2)})^2)^T$$

$$\{\hat{c}_{j,k}^{(2)}\} = \sum_{i=0}^{\Delta} \sum_{l=0}^{L-1} \hat{\alpha}_i \hat{\alpha}_l (1 - \frac{\hat{\tau}_i - \hat{\tau}_l + (k-j)T}{T})$$

$$\Rightarrow \underline{\hat{C}}_k^{(2)} = (\hat{c}_{-N_1,k}^{(2)}, \dots, \hat{c}_{N_2,k}^{(2)})^T$$

۳-۳. بحث و مقایسه حالات مطرح شده

از روابط محاسبه شده این بخش، مشاهده می‌گردد که احتمال خطای سیستم به واریانس خطای تخمین دامنه، تاخیر و توان دامنه تاخیر کانال وابسته می‌باشد. با مقایسه دو رابطه (۶) و (۸)، مشخص می‌شود که رابطه (۶) به توان دوم حاصل ضربتابع خود همبستگی پالس $p(t)$ و ضرائب کانال بستگی دارد، ولی رابطه (۸)، به حاصل ضربتابع خود همبستگی پالس $p(t)$ ، ضرایب کانال و سمبل‌های ISI وابسته است. با بررسی دقیق‌تر مشاهده می‌شود که مقدار این حاصل ضرب در حالت بدون ISI بزرگتر از حالت با ISI می‌باشد $\sum_{i=0}^{L-1} \sum_{k=0}^{L-1} \alpha_i \alpha_k R(\tau_i - \tau_k)]^2 > \underline{d}_{k+N_1,k-N_2}^T \underline{C}_k$. از آنجایی که $Q(x)$ یکتابع نزولی نسبت به x است، انتظار می‌رود که در ترسیم دو فرمول، عملکرد رابطه (۶) بهتر از رابطه (۸) باشد که در بخش شبیه‌سازی به این نکته خواهیم رسید. با مقایسه روابط (۹)، (۱۱) و (۱۲) این نکته مشخص می‌شود که در فرمول به دست آمده برای خطای توان تخمین دامنه و تاخیر به دلیل اضافه شدن جمله وابسته به واریانس‌های خطای دامنه و خطای تاخیر و همچنین جمله حاصل ضرب این دو واریانس، مخرج آرگومان تابع $Q(\cdot)$ در این فرمول بزرگتر از مخرج آرگومان در روابط (۹) و (۱۱) بوده و در نتیجه در ترسیم منحنی آن، عملکردی بدتر مشاهده خواهد شد.

$$\{\hat{c}_{j,k}\} = \sum_{i=0}^{\Delta} \sum_{l=0}^{L-1} \hat{\alpha}_i \hat{\alpha}_l R(\tau_i - \tau_l + (k-j)T)$$

$$\Rightarrow \underline{\hat{C}}_k = (\hat{c}_{-N_1,k}, \dots, \hat{c}_{N_2,k})^T$$

$$\{\Delta c_{i,k}\} = \sum_{j=-N_1}^{N_2} \sum_{l=0}^{L-1} d_{k-j} \hat{\alpha}_i \hat{\alpha}_l R(\tau_i - \tau_l + (k-j)T)$$

$$\Rightarrow \underline{\Delta C}_k = (\Delta c_{0,k}^2, \dots, \Delta c_{L-1,k}^2)^T$$

همچنین بردار واریانس خطای به صورت در نظر گرفته می‌شود.

همچنین بردار واریانس خطای به صورت در نظر گرفته می‌شود.

حالات ۲: با فرض $\tau_i = \hat{\tau}_i + \Delta \tau_i$ و $\alpha_i \approx \hat{\alpha}_i$ ، مشابه با حالت ۲ در قسمت (الف) و همچنین استفاده از فرض‌های مطرح شده در قسمت (ب) بخش ۱-۳، احتمال خطای با فرض مستطیلی بودن پالس $p(t)$ به صورت رابطه سه ضابطه‌ای (۱۴) محاسبه می‌شود.

$$P_e = \begin{cases} \frac{1}{2^{N_1+N_2+1}} \sum_d Q\left(\sqrt{\frac{2E_p}{N_0}} \left(\frac{\underline{d}_k \underline{d}_{k+N_1,k-N_2}^T \underline{\hat{C}}_k^{(1)}}{\sqrt{1 + \frac{2E_p}{N_0} \underline{\Delta C}_k^T \underline{\sigma}_{\epsilon}^2}} \right)\right) \\ \frac{1}{2^{N_1+N_2+1}} \sum_d Q\left(\sqrt{\frac{2E_p}{N_0}} \left(\frac{\underline{d}_k \underline{d}_{k+N_1,k-N_2}^T \underline{\hat{C}}_k^{(2)}}{\sqrt{1 + \frac{2E_p}{N_0} \underline{\Delta C}_k^T \underline{\sigma}_{\epsilon}^2}} \right)\right) \\ \frac{1}{2} \end{cases} \quad (14)$$

به طوریکه در آن تعریف می‌شود:

$$\{\hat{c}_{j,k}^{(1)}\} = \sum_{i=0}^{\Delta} \sum_{l=0}^{L-1} \alpha_i \alpha_l (1 + \frac{\hat{\tau}_i - \hat{\tau}_l + (k-j)T}{T})$$

$$\Rightarrow \underline{\hat{C}}_k^{(1)} = (\hat{c}_{-N_1,k}^{(1)}, \dots, \hat{c}_{N_2,k}^{(1)})^T$$

$$\{\Delta c_{i,k}\} = \sum_{j=-N_1}^{N_2} \sum_{l=0}^{L-1} d_{k-j} \alpha_i \alpha_l \Rightarrow \underline{\Delta C}_k = (\Delta c_{0,k}^2, \dots, \Delta c_{L-1,k}^2)^T$$

$$\{\hat{c}_{j,k}^{(2)}\} = \sum_{i=0}^{N_2} \sum_{l=0}^{L-1} d_{k-j} \hat{\alpha}_i \hat{\alpha}_l \Rightarrow \underline{\hat{C}}_k = (\hat{c}_{0,k}^2, \dots, \hat{c}_{L-1,k}^2)^T$$

$$\{\hat{c}_{j,k}^{(2)}\} = \sum_{i=0}^{N_2} \sum_{l=0}^{L-1} \alpha_i \alpha_l (1 - \frac{\hat{\tau}_i - \hat{\tau}_l + (k-j)T}{T})$$

$$\Rightarrow \underline{\hat{C}}_k^{(2)} = (\hat{c}_{-N_1,k}^{(2)}, \dots, \hat{c}_{N_2,k}^{(2)})^T$$

تخمین (دامنه یا تاخیر) در مخرج آرگومانتابع (Q) دارای ضربه ISI وابسته به سمبلهای ISI هستند، در شرایط مشابه با حالت بدون ISI (یعنی واریانس خطای یکسان) از عملکرد بدتری برخوردارند که این مسئله در شبیه‌سازی کاملاً مشهود است.

$$P_e = \begin{cases} \frac{1}{2^{N_1+N_2+1}} \sum_d Q\left(\sqrt{\frac{2E_p}{N_0}} \left(\frac{d_k d_{k+N_1,k-N_2}^T \hat{C}_k^{(1)}}{\sqrt{1 + \frac{2E_p}{N_0} (\Delta \hat{C}_k^T \underline{\sigma}_{\epsilon}^2 + (\Delta C_k^{(1)})^T \underline{\sigma}_{\Delta\alpha}^2 + A_k^2 (\underline{\sigma}_{\Delta\alpha}^2)^T \underline{\sigma}_{\epsilon}^2)}} \right)\right) \\ \frac{1}{2^{N_1+N_2+1}} \sum_d Q\left(\sqrt{\frac{2E_p}{N_0}} \left(\frac{d_k d_{k+N_1,k-N_2}^T \hat{C}_k^{(2)}}{\sqrt{1 + \frac{2E_p}{N_0} (\Delta \hat{C}_k^T \underline{\sigma}_{\epsilon}^2 + (\Delta C_k^{(2)})^T \underline{\sigma}_{\Delta\alpha}^2 + A_k^2 (\underline{\sigma}_{\Delta\alpha}^2)^T \underline{\sigma}_{\epsilon}^2)}} \right)\right) \\ \frac{1}{2} \end{cases} \quad (15)$$

فرستنده از معکوس زمانی شده آن استفاده می‌کند. برای تخمین ضرابب کanal، از الگوریتم CLEAN استفاده می‌شود^[۲]. بنابراین پاسخ ضربه معادل یک سیستم TiR به صورت $\hat{h}^*(-\tau) \otimes h(\tau) = h_{TiR}(\tau) = \hat{h}^*(-\tau) \otimes h(\tau)$ می‌باشد که $\hat{h}^*(-\tau)$ پاسخ ضربه پیش‌فیلتر مورد استفاده در فرستنده و $h(\tau)$ ، پاسخ ضربه کanal و \otimes نشان دهنده کانولوشن نسبت به متغیر تاخیر τ می‌باشد. از طرفیتابع خود همبستگی پاسخ ضربه کanal به صورت $h_{TiR}(\tau) = h^*(-\tau) \otimes h(\tau)$ تعریف می‌شود؛ در نتیجه: $h_{TiR}(\tau) \neq R_{hh}(\tau)$. در این بخش هدف نزدیکی پاسخ معادل R TiR به تابع خود همبستگی پاسخ ضربه کanal است، چرا که بهترین عملکرد و تمرکز زمانی روش TiR زمانی است که این نامساوی به مساوی تبدیل شود. برای تحلیل و بیان نحوه جبران‌سازی خطای تخمین کanal، بلوک دیاگرام طرح جبران‌سازی به صورت شکل (۲) نشان داده می‌شود.

مطابق شکل (۲)، یک کanal چند مسیره با مدل TDL با L_1 مسیر یا تپ را در نظر گرفته شده که فاصله تپ‌ها از هم یکنواخت بوده و به اندازه یک سمبل ارسالی می‌باشد. تعداد سمبلهای ارسالی N در نظر گرفته می‌شود.

X بردار سمبل ارسالی با مولفه‌های $\{\pm 1\}$ (مدولاًسیون BPAM)، H_{TiR} شکل ماتریسی پاسخ معادل TiR که شکل زمانی آن $h_{TiR}(t) = h^*(-t) \otimes h(t)$ می‌باشد. $h(t)$ و $h^*(-t)$ هر کدام دارای L_1 تپ و $h_{TiR}(t)$ دارای $L = 2L_1 - 1$ تپ می‌باشد. $h(t)$ پاسخ ضربه کanal به طول L_1 ، $h^*(-t)$ پاسخ ضربه پیش‌فیلتر در فرستنده به طول L_1 ، $h_{TiR}(t)$ پاسخ ضربه معادل TiR به طول $L = 2L_1 - 1$ ، $L = 2L_1$ سیگنال مدوله شده BPAM و $x(t)$ سیگنال خروجی تخمین‌گر MMSE یا سیگنال آشکار شده می‌باشند. در تحلیل‌های این بخش، از نمایش ماتریسی استفاده شده که معرفی می‌گردد.

این مسئله برای روابط (۱۳)، (۱۴) و (۱۵) در شرایط وجود ISI نیز صادق است، ضمن اینکه به علت وابستگی به سمبلهای ISI، عملکرد بدتری نسبت به حالت با ISI دیده می‌شود. از طرفی در روابط به دست آمده در حالت با ISI، به علت اینکه واریانس‌های خطای

۴. بهبود عملکرد سیستم TiR-UWB در شرایط تخمین گر غیرایده‌آل کanal

در این بخش بدون توجه به وجود یا عدم وجود ISI با کمک بهبود پیش‌فیلتر TiR، در صدد افزایش عملکرد یک سیستم TiR-UWB با فرض خطای تخمین دامنه و همچنین معلوم بودن کواریانس این خطای هستیم. در ابتدا سعی می‌شود تا به جای گیرنده فیلتر منطبق ساده از تخمین‌گر MMSE^۱ بهینه کمک گرفته شود، چرا که به دلیل خواص جبری روابط حاکم بر تخمین‌گر MMSE بهینه، حل دقیق و به فرم بسته‌ای برای پیش‌فیلتر جبران شده در شرایط تخمین‌گر غیرایده‌آل کanal می‌توان یافت و این در حالی است که یافتن چنین فرم بسته‌ای با استفاده از گیرنده فیلتر منطبق ساده کار ساده‌ای نبوده و با تقریب قابل انجام خواهد بود.

در انتها یک الگوریتم بهینه‌سازی دو مرحله‌ای مبتنی بر تکرار پیشنهاد می‌شود که ترکیب نتایج بخش‌های ۱-۴ و ۲-۴ می‌باشد و طی تکرارهای متوالی، میزان خطای ناشی از تخمین غیرایده‌آل کanal را تقریباً به صفر می‌رساند.

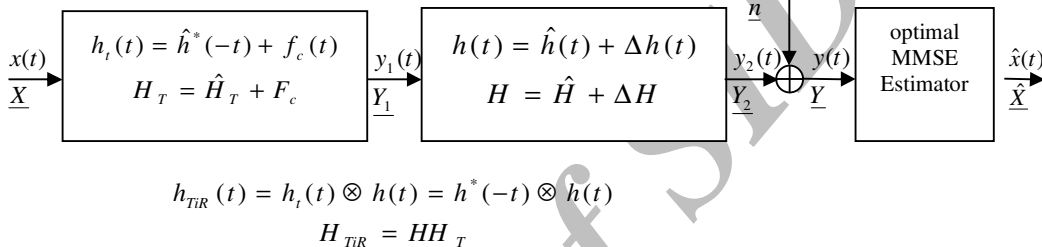
۴-۱. بهبود عملکرد با فرض گیرنده تخمین‌گر MMSE بهینه

در مراجع، عملکرد تکنیک TiR با همسان‌ساز MMSE با فرض کامل بودن تخمین کanal مورد ارزیابی قرار گرفته است^[۷]. در این بخش سعی شده است این کار با فرض وجود تخمین‌گر غیرایده‌آل کanal و استفاده از تخمین‌گر MMSE بهینه به عنوان گیرنده به جای همسان‌ساز انجام شود. در تکنیک TiR ابتدا پاسخ کanal تخمین زده شده و سپس از معکوس زمانی و مزدوج مختلط شده آن به عنوان پاسخ ضربه پیش‌فیلتر در فرستنده استفاده می‌شود. اگر $h(\tau)$ پاسخ ضربه کanal مذکور باشد، گیرنده پاسخ (τ) را تخمین زده و

^۱ Optimal Minimum Mean Square Error Estimator

بردار خطأ را به صورت تفاضل سمبول های ارسالی و سمبول های آشکار شده (مشاهده شده) به صورت $\underline{e} = \underline{\hat{X}} - \underline{X}$ می توان بیان کرد. برای محاسبه ماتریس جبران ساز F_c بر اساس معیار MMSE، بایستی متوجه مربع بردار خطأ را مینیمم نمود یعنی هدف محاسبه F_c به صورت $\min_{\tilde{F}_c} E\{\|\underline{e}\|^2\}$ می باشد. اما ساده تر است که از اصل تعامد استفاده شود [۱۰]. براساس اصل تعامد: $E\{\underline{e}\underline{\hat{X}}^H\} = 0$ می باشد که آن نیز به نتیجه $E\{\underline{\hat{X}}\underline{\hat{X}}^H\} = E\{\underline{X}\underline{\hat{X}}^H\}$ منجر می شود.

مجموعه ماتریس های $(H, \hat{H}, H_T, F_c, \Delta H)$ و نیز (\hat{H}_T, H_T) به ترتیب دارای ابعاد $(N+L_1-1) \times (N+L_1-1)$ و $(N+L_1-1) \times N$ هستند. همچنین بردارهای $(\underline{Y}_1, \underline{Y}_2, \underline{\hat{X}}, \underline{X})$ و $(\underline{n}, \underline{y}_1, \underline{y}_2, \underline{y})$ به ترتیب دارای ابعاد $(N+L_1-1) \times 1$ و $(N+L_1-1) \times 1$ هستند. هدف به دست آوردن ماتریس جبران ساز F_c به صورت تابعی از \hat{H}_T و \hat{H} (یعنی $F_c = g(\hat{H}, C_{\Delta H})$ می باشد، با فرض اینکه $C_{\Delta H} = E\{\Delta H^H \Delta H\}$ یعنی ماتریس کواریانس خطای تخمین کانال را موجود باشد.



شکل ۲: یک لینک ارتباطی با تخمین گر MMSE بهینه در شرایط تخمین گر غیرایده‌آل کانال با اجرای TiR بهبود یافته.

با توجه به فرض های گفته شده و همچنین استفاده از اصل تعامد، نتیجه $I = E\{H_{TiR}^H H_{TiR}\} = -\frac{1}{N_0} I$ حاصل می شود. همان طور که در شکل (۲) مشاهده می شود، H ماتریس واقعی کانال، \hat{H} ماتریس تخمین زده شده کانال و ΔH خطای تخمین کانال می باشد که در اینجا ماتریس کواریانس ($C_{\Delta H}$) این خطأ وجود دارد. از طرفی ΔH مستقل از \hat{H} می باشد. H_T ماتریس پیش فیلتر در فرستنده، \hat{H}_T پیش فیلتر تخمین زده شده H و F_c ماتریس جبران ساز H_T خطای تخمین ΔH می باشد. F_c مجھول بوده و مستقل از \hat{H}_T فرض می شود. با جایگذاری این مقادیر در رابطه $E\{H_{TiR}^H H_{TiR}\} = -\frac{1}{N_0} I$ و با اندکی ساده سازی:

$$H_T^H (C_{\Delta H} + \hat{H}^H \hat{H}) H_T = -\frac{1}{N_0} I_{N \times N}$$

اگر $B^H = B$ ، آنگاه $B^H = -N_0(C_{\Delta H} + \hat{H}^H \hat{H})$ خواهد بود. از طرفی اگر $R = [r_{ij}]_{(N+L_1-1) \times (N+L_1-1)}$ در نظر گرفته شود، $H_T^H B H_T = I \Rightarrow H_T H_T^H = B^{-1}$. آنگاه با مساوی قرار دادن درایه های قطر اصلی دو طرف معادله $H_T H_T^H = B^{-1}$ به جواب خواهد رسید. در نتیجه درایه های ماتریس جبران ساز F_c به صورت زیر به دست می آیند:

همه ماتریس های به کار رفته در تحلیل ها به صورت تاپلیتیز هستند که به عنوان مثال برای ماتریس کانال:

$$H = \begin{bmatrix} h[0] & 0 & \dots & 0 \\ \vdots & & & \vdots \\ h[L_1-1] & & \ddots & 0 \\ 0 & \ddots & & h[0] \\ \vdots & & & \vdots \\ 0 & \dots & 0 & h[L_1-1] \end{bmatrix}_{(N_1+2L-2) \times (N_1+L-1)}$$

سیگнал دریافتی در گیرنده به صورت $\underline{Y} = H_{TiR} \underline{X} + \underline{n}$ قابل بیان می باشد که در آن مولفه های نویز مستقل بوده، دارای متوسط $E\{\underline{n}\underline{n}^H\} = \sigma_n^2 I = N_0 I$ و واریانس $E\{\underline{n}\} = 0$ می باشند. همچنین بردار سمبول های \underline{X} ، متغیرهای تصادفی *iid* با متوسط $E\{\underline{X}\} = 0$ و واریانس $E\{\underline{X}\underline{X}^H\} = \sigma_x^2 I$ فرض می شود. از مراجع، خروجی یک تخمین گر MMSE بهینه به صورت $\underline{\hat{X}} = (H_{TiR}^H H_{TiR})^{-1} H_{TiR}^H \underline{Y} + N_0 I$ با جایگذاری بردار دریافتی $\underline{Y} = H_{TiR} \underline{X} + \underline{n}$ در آن:

$$\underline{\hat{X}} = \underline{X} + (H_{TiR}^H H_{TiR})^{-1} H_{TiR}^H \underline{n} + N_0 I$$

در بخش ۴ مشاهده گردید که همه ماتریس‌ها تاپلیت هستند، اما در حالت تقریب ذکر شده در این بخش، همه ماتریس‌ها پایین مثلثی می‌شوند که کار کردن با آنها راحت‌تر است. به عنوان مثال برای ماتریس کاتال:

$$\bar{H} = \begin{bmatrix} h[0] & 0 & \cdots & 0 \\ \vdots & \ddots & & \\ h[L_1 - 1] & & & \vdots \\ 0 & \ddots & \ddots & \\ \vdots & & & 0 \\ 0 & \cdots & 0 & h[L_1 - 1] & \cdots & h[0] \end{bmatrix}_{N_1 \times N_1}$$

حال بردار خطأ به صورت $\underline{X} = \bar{Y} - \underline{n}$ در نظر گرفته می‌شود. خطای تخمین دامنه کاتال نیز به صورت $\Delta \bar{H} = \bar{H} - \hat{H}$ بیان شده و فرض می‌شود $E\{\Delta \bar{H}\} = 0$. همچنین $C_{\Delta \bar{H}} = E\{\Delta \bar{H}^H \Delta \bar{H}\}$ ، ماتریس کواریانس خطای تخمین دامنه کاتال، \underline{n} نویز گاووسی با متوسط $E\{\underline{n}\} = 0$ و واریانس $E\{\underline{n}^H \underline{n}\} = \frac{N_0}{2}$ می‌باشد. با فرض اینکه $\underline{X} = E[\underline{X}]$ و $\bar{X}'^H = E[J' X]$ باشند، آنگاه با استفاده از اصل تعامل و اندکی دستکاری در روابط و ساده‌سازی، رابطه زیر قابل استخراج خواهد بود:

$$\bar{F}_c = (\bar{H}_T^H B + \bar{F}_c^H B + 2\rho \bar{H})^{-1} - \bar{H}_T \quad (17)$$

به طوریکه $\bar{B} = -2\rho(C_{\Delta \bar{H}} + \bar{H}^H \bar{H})$ تعریف می‌شود.

از رابطه فوق مشاهده می‌شود که برای محاسبه پیش فیلتر \underline{X} نیاز به یک روش بازگشتی می‌باشد. بنابراین به الگوریتمی برای انتخاب مقدار اولیه \bar{F}_c و نیز بهینه سازی آن با یک روال برگشتی نیاز خواهد بود که در ادامه به آن پرداخته می‌شود.

۳-۴. بهینه‌سازی دو مرحله‌ای عملکرد سیستم شامل فیلتر منطبق

به منظور محاسبه فیلتر جبران‌ساز با استفاده از رابطه (۱۷)، می‌توان از رابطه تکراری به صورت زیر استفاده کرد:

$$F_{C_k} = (\bar{H}_T^H B + \mu F_{C_{k-1}}^H B + 2\rho \bar{H})^{-1} - \bar{H}_T \quad (18)$$

به طوریکه F_{C_k} ماتریس پیش فیلتر محاسبه شده در گام k و $\mu < 1$ یک عدد ثابت مبتنی بر تجربه و آزمایش می‌باشد. مشابه تمام سیستم‌های وفقی، از یک مقدار اولیه شروع کرده تا پس از همگرایی، مقدار نهایی به دست آید. سؤال این است که مقدار اولیه چگونه در نظر گرفته شود که در حداقل زمان، همگرایی الگوریتم تضمین شود؟ برای جواب دادن به پرسش فوق می‌توان از ترکیب نتایج بخش‌های ۱-۴ و ۲-۴ بهره گرفت. انتظار می‌رود اگر پیش فیلتر محاسبه شده در سیستم شامل تخمین گر MMSE بهینه (رابطه

$$\begin{cases} f_c[0] = \pm \sqrt{r_{11}} - \hat{h}^*[L_1 - 1] \\ f_c[1] = \pm \sqrt{r_{22} - h_i^*[0]} - \hat{h}^*[L_1 - 2] \\ \vdots \\ f_c[L_1 - 1] = \pm \sqrt{r_{L_1 L_1} - (h_i^*[0] + \dots + h_i^*[L_1 - 2])} - \hat{h}^*[0] \end{cases} \quad (16)$$

انتخاب علامت مثبت یا منفی، بستگی به مثبت یا منفی بودن تپ مورد نظر کاتال دارد که از چک کردن علامت تپ‌های تخمین زده شده (\hat{H}) معلوم می‌شود؛ مثلاً اگر تپ $L_1 - 1$ کاتال دارای علامت مثبت بود، آنگاه $\sqrt{r_{11}}$ و گرنه $-\sqrt{r_{11}}$ – انتخاب می‌شود.

۴-۲. بهبود عملکرد با فرض گیرنده فیلتر منطبق ساده

در این بخش از تحلیلی مشابه با بخش قبل استفاده می‌شود، اما در آن به جای استفاده از تخمین گر MMSE بهینه، از یک فیلتر منطبق ساده به عنوان گیرنده استفاده می‌شود که بلوک دیاگرام شکل (۱) این مطلب را به خوبی نشان می‌دهد.

فرض می‌شود که هر برسی ارسالی شامل N سمبیل به صورت $s(t) = \sum_{j=0}^{N-1} d_j p(t - jT)$ باشد. علاوه بر این، فرض می‌شود که $T = T_p$ باشد، یعنی به ازای هر سمبیل از یک پالس برای شکل دهنده استفاده می‌شود. زمان نمونه برداری برابر t_s می‌باشد، بنابراین هر سمبیل شامل $\frac{T}{t_s}$ نمونه بوده و یک برسی N سمبیلی (سیگنال (t)) دارای $N_1 = \frac{NT}{t_s}$ نمونه می‌باشد که به صورت بردار \underline{X} نشان داده می‌شود، یعنی:

$$x[n] = s(nt_s) \Rightarrow \underline{X} = \{x[n]\} ; n = 0, \dots, N_1 - 1$$

سیگنال ورودی به کاتال به صورت $\underline{y}_1 = H_T \underline{X}$ نمایش داده شده که در آن $y_1[0], \dots, y_1[N_1 + L - 2]^T$ می‌باشد. از این بردار، $L-1$ نمونه حذف می‌شود. با این تقریب انجام شده، تحلیل‌ها ساده‌تر و محاسبات در حوزه نمایش ماتریسی راحت‌تر انجام می‌گیرد. این تقریب برای طول برسی‌های ارسالی بزرگ یعنی $N_1 > L$ معتبر خواهد بود، به طوریکه معمولاً چنین فرضی در حالت عادی رخ می‌دهد. بنابراین:

$$\bar{Y}_1 = (y_1[0], \dots, y_1[N_1 - 1])^T \Rightarrow \bar{Y}_1 = \bar{H}_T \underline{X}$$

همچنین سیگنال خروجی کاتال که با $\underline{Y}_2 = H \bar{Y}_1 = H H_T \underline{X}$ بیان می‌شود، با تقریب ذکر شده به صورت زیر بیان می‌شود: $\bar{Y}_2 = (y_2[0], \dots, y_2[N_1 - 1])^T$. بنابراین نمایش برداری حالت تقریب سیگنال دریافتی به صورت زیر خواهد بود:

$$\bar{Y} = \bar{Y}_2 + \bar{n} = \bar{H} \bar{H}_T \underline{X} + \bar{n} = \bar{H}_{TR} \underline{X} + \bar{n}$$

عملکرد سیستم می‌باشد^[۱۲] [۱] بدینهی است که این اختلاف در حالت با ISI بیشتر می‌شود. نتایج مربوط به مدل کانال CM4 به دلیل وجود ISI در مقایسه با نتایج مدل کانال CM1 دارای عملکرد بدتری می‌باشند. هم‌چنین با مقایسه شکل‌های (۳) و (۶) مشاهده می‌شود که در مدل کانال CM4 به دلیل وجود ISI و هم‌چنین به دلیل وجود ضریب واسته به سمبیل‌های ISI در رابطه احتمال خطای واریانس خطای یکسان (واریانس ۰.۰۱)، عملکرد به مراتب بدتری نسبت به حالت بدون ISI و کانال مدل CM1 وجود دارد.

برای نشان دادن عملکرد الگوریتم جبران‌سازی پیشنهادی، از مدل کانال CM1 با طول ۵nsec استفاده می‌شود که به همراه مدل کانال تخمین زده شده توسط الگوریتم CLEAN در شکل (۹) رسم شده است^[۱۲] [۲]. از آنجاییکه جبران‌سازی خطای تخمین دامنه کانال مورد نظر بوده و فرض شده است که خطای تخمین تاخیر در بخش هم‌زمان‌سازی جبران شده است، در شکل (۱۰) توزیع خطای تخمین دامنه الگوریتم CLEAN رسم شده است. با شبیه‌سازی در شکل (۱۰) مشخص می‌شود که توزیع خطای تخمین دامنه تپ‌های کانال با الگوریتم CLEAN یک توزیع گاوی می‌باشد واریانس خطای گاوی تقریباً $\sigma_{\Delta\alpha}^2 = 0.07$ می‌باشد.

برای بهینه‌سازی سیستم TiR-UWB به کمک پیش‌فیلتر، از رابطه (۱۷) استفاده می‌شود. تعداد سمبیل‌ها خیلی بیشتر از تپ‌های کانال انتخاب می‌شود تا تقریب صورت گرفته در بخش ۲-۴ برای تبدیل ماتریس‌های تاپلیتی به ماتریس‌های پایین مثلى، روى عملکرد تأثیر گذار نباشد. برای مقدار اولیه F_{C_1} در رابطه (۱۷)، از رابطه (۱۶) استفاده شده و نسبت سیگنال به نویز نیز $10dB = \mu$ انتخاب شده است.

همان‌طور که در شکل (۱۱) مشاهده می‌شود، در صورت استفاده از الگوریتم تخمین کانال CLEAN (با توزیع خطای نشان داده شده در شکل (۱۰)، میزان خطای عملکرد سیستم شکل (۱) در احتمال خطای -4 حدود ۳dB بوده که مقدار ۲.۵dB به کمک پیش‌فیلتر محاسبه شده در رابطه (۱۶) و جایگذاری آن در رابطه (۱۷) بهبود یافته است. به نظر می‌رسد که ترکیب دو رابطه (۱۶) و (۱۷) در قالب یک الگوریتم مبتنی بر تکرار، نتایج قابل قبولی را در جهت بهینه‌سازی سیستم شکل (۱) باعث شده و مقدار ۰.۵dB باقیمانده از خطای عملکرد ناشی از تخمین غیرایده‌آل کانال را نیز جبران نماید. با انتخاب ضریب $0.001 = \mu$ ، مشاهده می‌گردد که عملکرد سیستم مورد نظر با شرایط ذکر شده در ۴ گام مجزا، همگرا شده و خطای ناشی از تخمین غیرایده‌آل کانال به صفر میل می‌کند. در این سیستم، مقدار ρ تاثیری روی تعداد تکرارها نداشته و تقریباً برای همه مقدادر > ۰ ، نتایج یکسانی طی اجرای ۴ گام الگوریتم حاصل می‌شود. نتیجه اجرای الگوریتم پیشنهادی در سیستم شامل فیلتر منطبق ساده و در مدل کانال CM1 به تفکیک ۴ گام تکرار در

(۱۶)، به عنوان مقدار اولیه رابطه (۱۷) مورد استفاده قرار گیرد، سبب بهبود عملکرد سیستم شامل فیلتر منطبق ساده (شکل (۱)) خواهد شد (درستی این ادعا در شبیه‌سازی نشان داده می‌شود). بنابراین می‌توان از یک الگوریتم بهینه‌سازی دو مرحله‌ای به صورت زیر استفاده نمود:

مرحله اول شامل محاسبه ماتریس پیش‌فیلتر به کمک سیستم شامل تخمین‌گر MMSE بهینه بوده که رابطه (۱۶) به دست می‌آید. فرض می‌شود ماتریس پیش‌فیلتر منتج از رابطه (۱۶)، F_{C_1} باشد. اگر مرحله اول الگوریتم یک گام در نظر گرفته شود، مرحله دوم از چند گام تکرار شونده تشکیل می‌شود که ورودی آن، ماتریس پیش‌فیلتر F_{C_1} محاسبه شده در گام اول خواهد بود. بنابراین الگوریتم پیشنهادی به صورت گام‌های مجزا زیر بیان می‌شود:

گام اول ($k=1$): محاسبه F_{C_1} از روی رابطه (۱۶).

گام دوم ($k=2$): جایگذاری F_{C_1} در طرف دوم معادله (۱۷) برای محاسبه ماتریس F_{C_2} .

گام سوم ($k=3$): جایگذاری F_{C_2} در طرف دوم رابطه (۱۷) برای محاسبه ماتریس F_{C_3} و

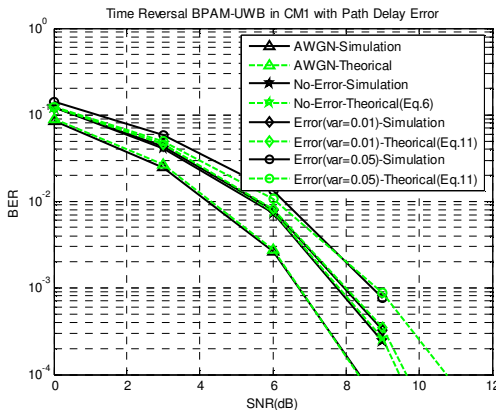
گام $k=4$: جایگذاری $\mu F_{C_{k-1}}$ در طرف دوم رابطه (۱۷) برای محاسبه ماتریس F_{C_k} .

۵. نتایج شبیه‌سازی

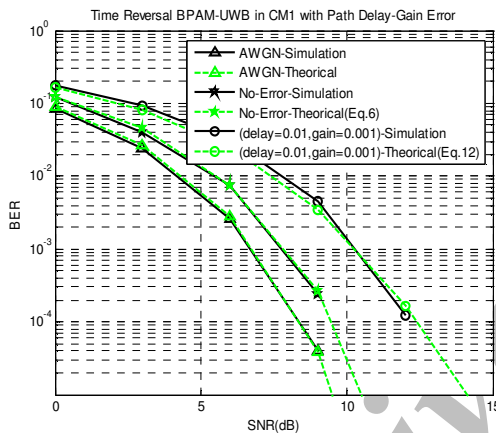
در این بخش به ارزیابی مبتنی بر شبیه‌سازی روابط و نتایج به دست آمده در این مقاله پرداخته می‌شود. از مدل کانال CM1 با طول ۵nsec برای حالت بدون ISI و مدل کانال CM4 با طول ۲۵nsec برای حالت با ISI استفاده می‌شود^[۱۲] [۲]. طول پالس برابر طول سمبیل ۱۰nsec انتخاب شده (بخش ارسال ۱۰۰Mbps) و زمان نمونه برداری برابر ۰.۱۶۷nsec می‌باشد.

شکل‌های (۳)، (۴) و (۵) به ترتیب احتمال خطای سیستم TiR-UWB با فیلتر منطبق ساده و مدولاسیون BPAM در حالت‌های خطای تخمین دامنه، تاخیر و توام دامنه-تاخیر کانال CM1 در حالت بدون ISI را نشان می‌دهند.

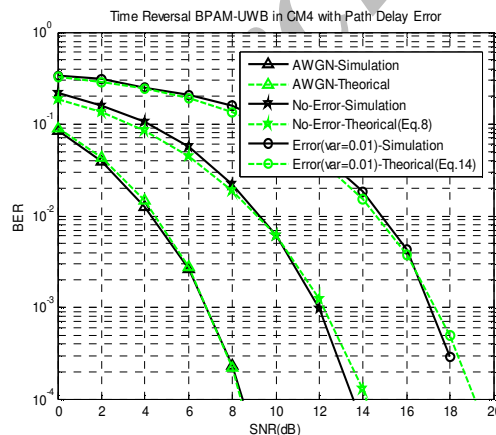
نتایج بیان می‌کنند که روابط به دست آمده برای احتمال خطای روابط (۶)، (۹)، (۱۱) و (۱۲)، به نتایج حاصل از شبیه‌سازی سیستم بسیار نزدیک هستند که در شکل‌ها در محل مربوطه برچسب گذاری شده‌اند. هم‌چنین شکل‌های (۶)، (۷) و (۸) بیانگر احتمال خطای سیستم شکل (۱) برای کانال CM4 و حالت با ISI می‌باشند. نتایج حاصل از شبیه‌سازی، روابط (۸)، (۱۳)، (۱۴) و (۱۵) را کاملاً تصدیق می‌کنند. وجود اختلاف نمودارها در حالت No-Error و AWGN در حالت بدون ISI به دلیل اثر کانال چند مسیره مورد استفاده روی



شکل ۴. عملکرد سیستم TiR-UWB با فرض خطای تخمین تاخیر کanal ISI و بدون CM1



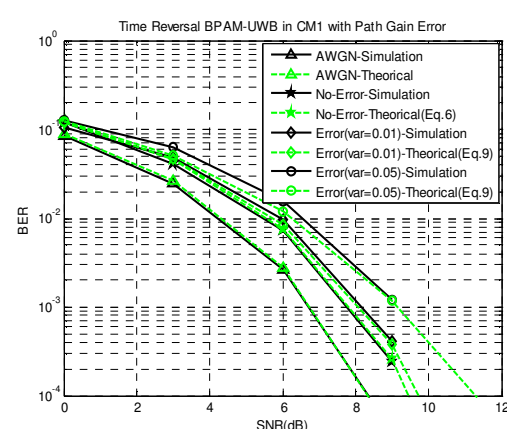
شکل ۵. عملکرد سیستم TiR-UWB با فرض خطای تومام تخمین دامنه ISI کanal CM1 و بدون



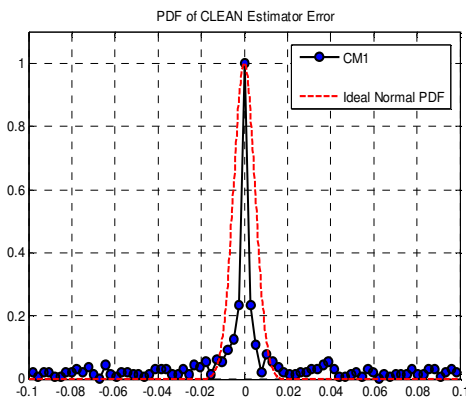
شکل ۶. عملکرد سیستم TiR-UWB با فرض خطای تخمین دامنه کanal ISI و با CM4

شکل (۱۱) رسم گردیده است. مشاهده می‌شود که با $k=4$ تکرار، پیش‌فیلتر جبران‌ساز به کلی می‌تواند خطای تخمین کانال را جبران نماید. همان‌طور که در شکل (۱۲) مشاهده می‌شود، اعمال الگوریتم بهینه‌سازی، روی تمرکز زمانی پاسخ معادل TiR تاثیر چندانی ندارد. یکی از نکاتی که باید به آن توجه داشت، مصالحه بین پیچیدگی سیستم و میزان بهبود عملکرد بالا الگوریتم جبران‌سازی تکرار شونده پیشنهادی است. بدیهی است که جبران‌سازی ۳dB خطای عملکرد اتفاق افتاده (در شرایط خاص مورد بررسی در این مقاله) به افزایش پیچیدگی سیستم می‌انجامد، اما این پیچیدگی بایستی در شرایط گوناگون ارسال-دریافت به طور صحیح مدیریت و کنترل گردد.

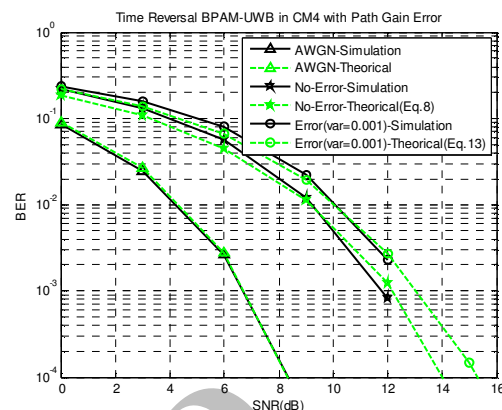
همان‌طور که مشاهده گردید، پیش‌فیلتر محاسبه شده (روابط (۱۶) و (۱۷)) به کواریانس خطای تخمین کانال وابسته است. کواریانس خطای تخمین در یک لینک ارتباطی مقداری مشخص و به راحتی قابل دسترسی است، لذا همه ورودی‌های پیش‌فیلتر معلوم بوده و با انجام یکسری محاسبات ساده در هر تکرار الگوریتم که مهم‌ترین آنها گرفتن معکوس ماتریس است، پیش‌فیلتر جبران‌ساز به راحتی به دست می‌آید. اگر بخواهیم مقدار بیشتری از خطای عملکرد را جبران کنیم، به تکرار بیشتری از الگوریتم نیازمندیم که این خود به افزایش پیچیدگی سیستم می‌انجامد. اما همان‌طور که در شبیه‌سازی مشاهده گردید، معمولاً قسمت زیاد خطای عملکرد سیستم در تکرار اول جبران می‌شود. بنابراین با اجرای تنها یک بار از الگوریتم، می‌توان حدود ۸۰ درصد خطای عملکرد را جبران و به این ترتیب پیچیدگی سیستم را مدیریت نمود، به شرطی که بتوان ۲۰ درصد خطای عملکرد باقیمانده را در لینک ارتباطی مورد نظر در ازای کاهش در پیچیدگی سیستم تحمل کرد.



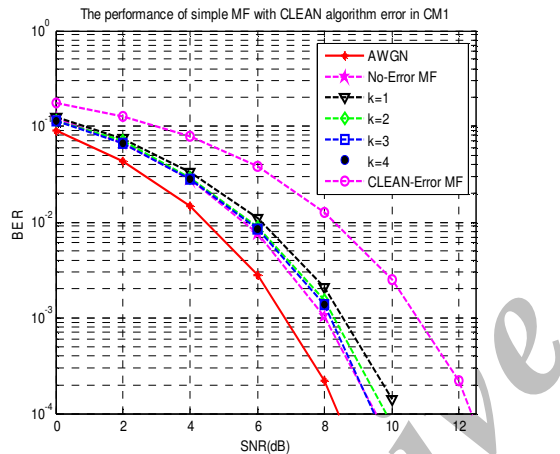
شکل ۳. عملکرد سیستم TiR-UWB با فرض خطای تخمین دامنه کanal ISI و بدون CM1



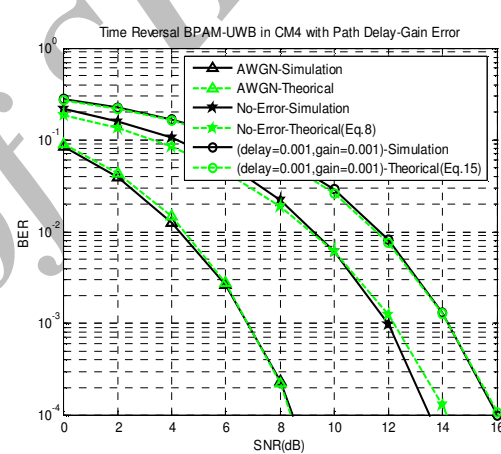
شکل ۱۰. توزیع خطای تخمین دامنه کanal با CLEAN



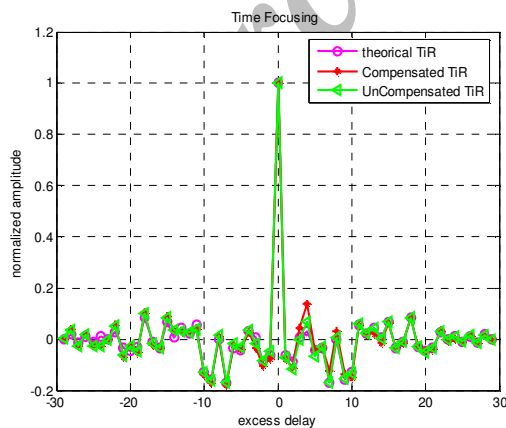
شکل ۷. عملکرد سیستم TiR-UWB با فرض خطای تخمین تاخیر کانال ISI و با CM4



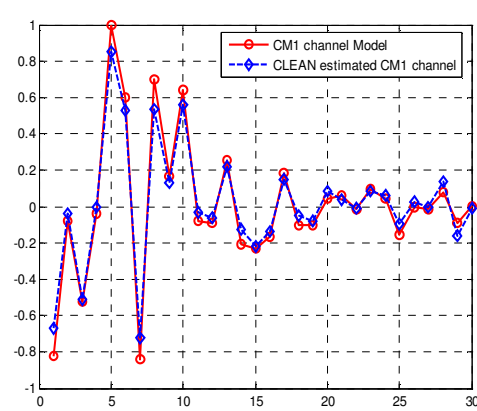
شکل ۱۱. عملکرد الگوریتم بهینهسازی دو مرحله‌ای به تفکیک ۴ گام تکرار در سیستم TiR-UWB شامل فیلتر منطبق ساده با فرض خطای تخمین دامنه کanal ISI و بدون CM1



شکل ۸. عملکرد سیستم TiR-UWB با فرض خطای تاخیر کانال ISI و با CM4



شکل ۱۲. حفظ تمرکز زمانی پاسخ معادل TiR در روش جبران‌سازی



شکل ۹. پاسخ کanal CM1 استفاده شده به همراه پاسخ تخمینی آن توسط CLEAN الگوریتم

۷. مراجع

- [1] Qiu, R. C. "A Theory of Time-Reversed Impulse Multiple-Input Multiple-Output (MIMO) for Ultra-Wideband (UWB) Communications."; Proc. IEEE International Conference on UWB, Waltham, MA, 2006, Sept. 24-27, 1, 587-592.
- [2] Akogun, A. E. "Theory and Application Time Reversal Techniqueto Ultra-Wideband Wireless Communication."; MSc. Thesis, Tennessee Technological University, Tennessee, USA, August 2005.
- [3] Qiu, R. C.; Zhou, C.; Guo, N.; Zhang, J. Q. "Time Reversal with MISO for Ultra-Wideband Communications: Experimental Results."; IEEE Antennas and Wireless Propagation Letters 2006, 5(1), 269-273.
- [4] Guo, N.; Sadler, B. M.; Qiu, R. C. "Reduced-Complexity UWB Time-Reversal Techniques and Experimental Results."; IEEE Transactions on Wireless Communication 2007, 6 (12), 4221-4226.
- [5] Guo, N.; Zhang, J. Q.; Qiu, R. C.; Mo, S. S. "UWB MISO Time Reversal with Energy Detector Receiver over ISI Channels."; Proc. IEEE Consumer Communication and Networking Conference, Las Vegas, Nevada, 2007, Jan. 11-13, 1, 629-633.
- [6] Reed, J. H. "An Introduction to Ultra Wideband Communication Systems."; Prentice Hall PTR, 2005.
- [7] Strohmer, T.; Emami, M.; Hansen, J.; Papanicolaou, G.; Paulraj, A. J. "Application of Time Reversal with MMSE Equalizer to UWB Communications."; Proc. IEEE Global Telecommunications Conference, Dallas, Texas, 2004, 3, 3123-3127.
- [8] Liu, X.; Wang, B. Z.; Xiao, S.; Lai, S. "Post-Time-Reversed MIMO Ultra-WideBand Transmission Scheme."; IEEE Transactions on Antennas and Propagation 2010, 58 (5), 1731-1738.
- [9] Sheng, H.; You, R.; Haimovich, A. M. "Performance Analysis of Ultra-Wide Band Rake Receivers with Channel Delay Estimation Errors."; Proc. Conf. Information Sciences and Systems (CISS), March 2004, 2, 921-926.
- [10] Bizaki, H. K.; Falahati, A. "Tomlinson-Harashima Precoding with Imperfect Channel State Information."; IET Communication journal 2008, 2 (1), 151-158.
- [11] Lewis, T. O.; Odell, P. L. "Estimation in Linear Models."; Upper Saddle River, NJ: Prentice Hall, 1971.
- [12] Popovski, K.; Wysocki, B. J.; Wysock, T. A. "Modelling and Comparative Performance Analysis of a Time-Reversed UWB System."; EURASIP Journal on Wireless Communications and Networking 2007, 7, 1-11.

۶. نتیجه‌گیری

وجود خطای ناشی از تخمین غیرایده‌آل کانال، روی تمرکز زمانی TIR اثر گذاشت و عملکرد سیستم را کاهش می‌دهد. در این مقاله، ابتدا اثر خطای تخمین روی عملکرد یک سیستم UWB مبتنی بر TIR با تحلیلی متفاوت مطالعه شده و روابط احتمال خطای با فرض گیرنده فیلتر منطبق ساده به فرم بسته محاسبه گردید. مشاهده شد که خطای تخمین کانال در حضور تداخل بین سمبی، تأثیر بیشتری روی عملکرد می‌گذارد و احتمال خطای سیستم به واریانس خطای تخمین دامنه، تاخیر و توام دامنه-تاخیر کانال وابسته می‌باشد. ضمن اینکه با کمک شبیه‌سازی، صحت روابط احتمال خطای محاسبه شده بررسی و تایید گردید. سپس، با کمک پیش فیلتر، خطای ناشی از تخمین در دو حالت گیرنده تخمین گر MMSE بهینه و گیرنده فیلتر منطبق ساده جبران‌سازی شد. مشاهده گردید که میزان خطای در عملکرد یک سیستم TIR-UWB با فرض گیرنده شامل فیلتر منطبق ساده به واسطه استفاده از الگوریتم CLEAN به عنوان تخمین گر غیرایده‌آل کانال با توزیع خطای مشخص در مدل کانال CM1، حدود 3dB در احتمال خطای 10^{-4} می‌باشد. استفاده از پیش فیلتر جبران ساز محاسبه شده در سیستم شامل فیلتر منطبق ساده به کمک پیش فیلتر محاسبه شده در سیستم شامل تخمین گر MMSE بهینه (البته بدون تکرار و تنها به عنوان مقدار اولیه)، خطای فوق را حدود 2.5dB بهبود می‌بخشد و حدود 0.5dB باقی می‌ماند. اما قسمت بیشتر 3dB خطای انفاق افتاده، ضمن حفظ تمرکز زمانی تکنیک TIR، می‌تواند در الگوریتم بهینه‌سازی دو مرحله‌ای پیشنهادی جبران شود.